



Низкие динамические потери
Малый заряд обратного восстановления
Разветвленный управляющий электрод для
высоких скоростей нарастания тока

Быстродействующий Импульсный Тиристор Тип ТБИ773-2000-25

Средний прямой ток		I_{TAV}	2000 А		
Повторяющееся импульсное напряжение в закрытом состоянии		U_{DRM}	2000 ÷ 2500 В		
Повторяющееся импульсное обратное напряжение		U_{RRM}			
Время выключения		t_q	40.0; 50.0; 63.0 мкс		
U_{DRM} , U_{RRM} , В	2000	2200	2400	2500	
Класс по напряжению	20	22	24	25	
T_j , °C		– 60 ÷ 125			

ПРЕДЕЛЬНО ДОПУСТИМЫЕ ЗНАЧЕНИЯ ПАРАМЕТРОВ

Обозначение и наименование параметра		Ед. изм.	Значение	Условия измерения	
Параметры в проводящем состоянии					
I_{TAV}	Средний ток в открытом состоянии	A	2000 3280	$T_c=90$ °C; двухстороннее охлаждение; $T_c=55$ °C; двухстороннее охлаждение; 180 эл. град. синус; 50 Гц	
I_{TRMS}	Действующий ток в открытом состоянии	A	3140	$T_c=90$ °C; двухстороннее охлаждение; 180 эл. град. синус; 50 Гц	
I_{TSM}	Ударный ток в открытом состоянии	kA	40.0 46.0	$T_j=T_{j\max}$ $T_j=25$ °C	180 эл. град. синус; 50 Гц ($t_p=10$ мс); единичный импульс; $U_D=U_R=0$ В; Импульс управления: $I_G=I_{FGM}$; $U_G=20$ В; $t_{GP}=50$ мкс; $di_G/dt=1$ А/мкс
			42.0 48.0	$T_j=T_{j\max}$ $T_j=25$ °C	180 эл. град. синус; 60 Гц ($t_p=8.3$ мс); единичный импульс; $U_D=U_R=0$ В; Импульс управления: $I_G=I_{FGM}$; $U_G=20$ В; $t_{GP}=50$ мкс; $di_G/dt=1$ А/мкс
I^2t	Защитный фактор	$A^2 \cdot 10^3$	8000 10580	$T_j=T_{j\max}$ $T_j=25$ °C	180 эл. град. синус; 50 Гц ($t_p=10$ мс); единичный импульс; $U_D=U_R=0$ В; Импульс управления: $I_G=I_{FGM}$; $U_G=20$ В; $t_{GP}=50$ мкс; $di_G/dt=1$ А/мкс
			7320 9560	$T_j=T_{j\max}$ $T_j=25$ °C	180 эл. град. синус; 60 Гц ($t_p=8.3$ мс); единичный импульс; $U_D=U_R=0$ В; Импульс управления: $I_G=I_{FGM}$; $U_G=20$ В; $t_{GP}=50$ мкс; $di_G/dt=1$ А/мкс

Блокирующие параметры				
U_{DRM}, U_{RRM}	Повторяющееся импульсное обратное напряжение и повторяющееся импульсное напряжение в закрытом состоянии	V	2000÷2500	$T_{j\ min} < T_j < T_{j\ max}$; 180 эл. град. синус; 50 Гц; управление разомкнуто
U_{DSM}, U_{RSM}	Неповторяющееся импульсное обратное напряжение и неповторяющееся импульсное напряжение в закрытом состоянии	V	2100÷2600	$T_{j\ min} < T_j < T_{j\ max}$; 180 эл. град. синус; 50 Гц; единичный импульс; управление разомкнуто
U_D, U_R	Постоянное обратное и постоянное прямое напряжение	V	$0.75 \cdot U_{DRM}$ $0.75 \cdot U_{RRM}$	$T_j = T_{j\ max}$; управление разомкнуто
Параметры управления				
I_{FGM}	Максимальный прямой ток управления	A	10	$T_j = T_{j\ max}$
U_{RGM}	Максимальное обратное напряжение управления	V	5	
P_G	Максимальная рассеиваемая мощность по управлению	Вт	8	
Параметры переключения				
$(di_T/dt)_{crit}$	Критическая скорость нарастания тока в открытом состоянии ($f=1$ Hz)	A/мкс	2500	$T_j = T_{j\ max}$; $U_D = 0.67 \cdot U_{DRM}$; $I_{TM} = 2 I_{TAV}$; Импульс управления: $I_G = I_{FGM}$; $U_G = 20$ V; $t_{GP} = 50$ мкс; $di_G/dt = 1$ A/мкс
Тепловые параметры				
T_{stg}	Температура хранения	°C	- 60 ÷ 125	
T_j	Температура р-п перехода	°C	- 60 ÷ 125	
Механические параметры				
F	Монтажное усилие	кН	40.0÷50.0	
a	Ускорение	м/с ²	50 100	В не зажатом состоянии В зажатом состоянии

ХАРАКТЕРИСТИКИ

Обозначение и наименование характеристики		Ед. изм.	Значение	Условия измерения
Характеристики в проводящем состоянии				
U_{TM}	Импульсное напряжение в открытом состоянии, макс	V	1.90 2.05	$T_j = T_{j\ max}$; $I_{TM} = 4000$ A $T_j = 25$ °C; $I_{TM} = 6280$ A
$U_{T(TO)}$	Пороговое напряжение, макс	V	1.30	$T_j = T_{j\ max}$; $0.5 \pi I_{TAV} < I_T < 1.5 \pi I_{TAV}$
r_T	Динамическое сопротивление в открытом состоянии, макс	мОм	0.150	
I_H	Ток удержания, макс	mA	1000	$T_j = 25$ °C; $U_D = 12$ V; управление разомкнуто
Блокирующие характеристики				
I_{DRM}, I_{RRM}	Повторяющийся импульсный обратный ток и повторяющийся импульсный ток в закрытом состоянии, макс	mA	300	$T_j = T_{j\ max}$; $U_D = U_{DRM}$; $U_R = U_{RRM}$
$(dv_D/dt)_{crit}$	Критическая скорость нарастания напряжения в закрытом состоянии ¹⁾ , мин	V/мкс	1000	$T_j = T_{j\ max}$; $U_D = 0.67 \cdot U_{DRM}$; управление разомкнуто

Характеристики управления

U_{GT}	Отпирающее постоянное напряжение управления, макс	В	5.00 3.00 2.00	$T_j = T_{j \min}$ $T_j = 25^{\circ}\text{C}$ $T_j = T_{j \max}$	$U_D = 12 \text{ В}; I_D = 3 \text{ А};$ Постоянный ток управления
I_{GT}	Отпирающий постоянный ток управления, макс	мА	500 300 200	$T_j = T_{j \min}$ $T_j = 25^{\circ}\text{C}$ $T_j = T_{j \max}$	
U_{GD}	Неотпирающее постоянное напряжение управления, мин	В	0.35	$T_j = T_{j \max}$ $U_D = 0.67 \cdot U_{DRM}$	
I_{GD}	Неотпирающий постоянный ток управления, мин	мА	15.00		Постоянный ток управления

Динамические характеристики

t_{gd}	Время задержки включения	мкс	2.5	$T_j = 25^{\circ}\text{C}; V_D = 0.4 \cdot U_{DRM}; I_{TM} = I_{TAV}$ Gate pulse: $I_G = I_{FGM}$; $V_G = 20 \text{ В}$ $t_{GP} = 50 \mu\text{s}$; $di_G/dt = 1 \text{ A}/\mu\text{s}$	
t_q	Время выключения ²⁾ , макс	мкс	40.0; 50.0; 63.0	$dv_D/dt = 50 \text{ В}/\text{мкс}$	$T_j = T_{j \max}; I_{TM} = I_{TAV}$ $di_R/dt = -10 \text{ А}/\text{мкс}$ $U_R = 100 \text{ В}$ $U_D = 0.67 \cdot U_{DRM}$
			50.0; 63.0; 80.0	$dv_D/dt = 200 \text{ В}/\text{мкс}$	
Q_{rr}	Заряд обратного восстановления, макс	мкКл	1250		
t_{rr}	Время обратного восстановления, макс	мкс	10		
I_{rrM}	Ток обратного восстановления, макс	А	250		

Тепловые характеристики

R_{thjc}	Тепловое сопротивление р-п переход-корпус, макс	$^{\circ}\text{C}/\text{Вт}$	0.0085	Постоянный ток	Двухстороннее охлаждение
R_{thjc-A}			0.0187		Охлаждение со стороны анода
R_{thjc-K}			0.0153		Охлаждение со стороны катода
R_{thck}	Тепловое сопротивление корпус-охладитель, макс	$^{\circ}\text{C}/\text{Вт}$	0.0020	Постоянный ток	

Механические характеристики

w	Масса, тип	Γ	1500	
D_s	Длина пути тока утечки по поверхности	мм (дюйм)	27.37 (1.077)	
D_a	Длина пути тока утечки по воздуху	мм (дюйм)	16.00 (0.629)	

ПРИМЕЧАНИЕ

¹⁾ Критическая скорость нарастания напряжения в закрытом состоянии

Обозначение группы	A2
$(dv_D/dt)_{crit}, \text{В}/\text{мкс}$	1000

²⁾ Время выключения ($dv_D/dt = 50 \text{ В}/\text{мкс}$)

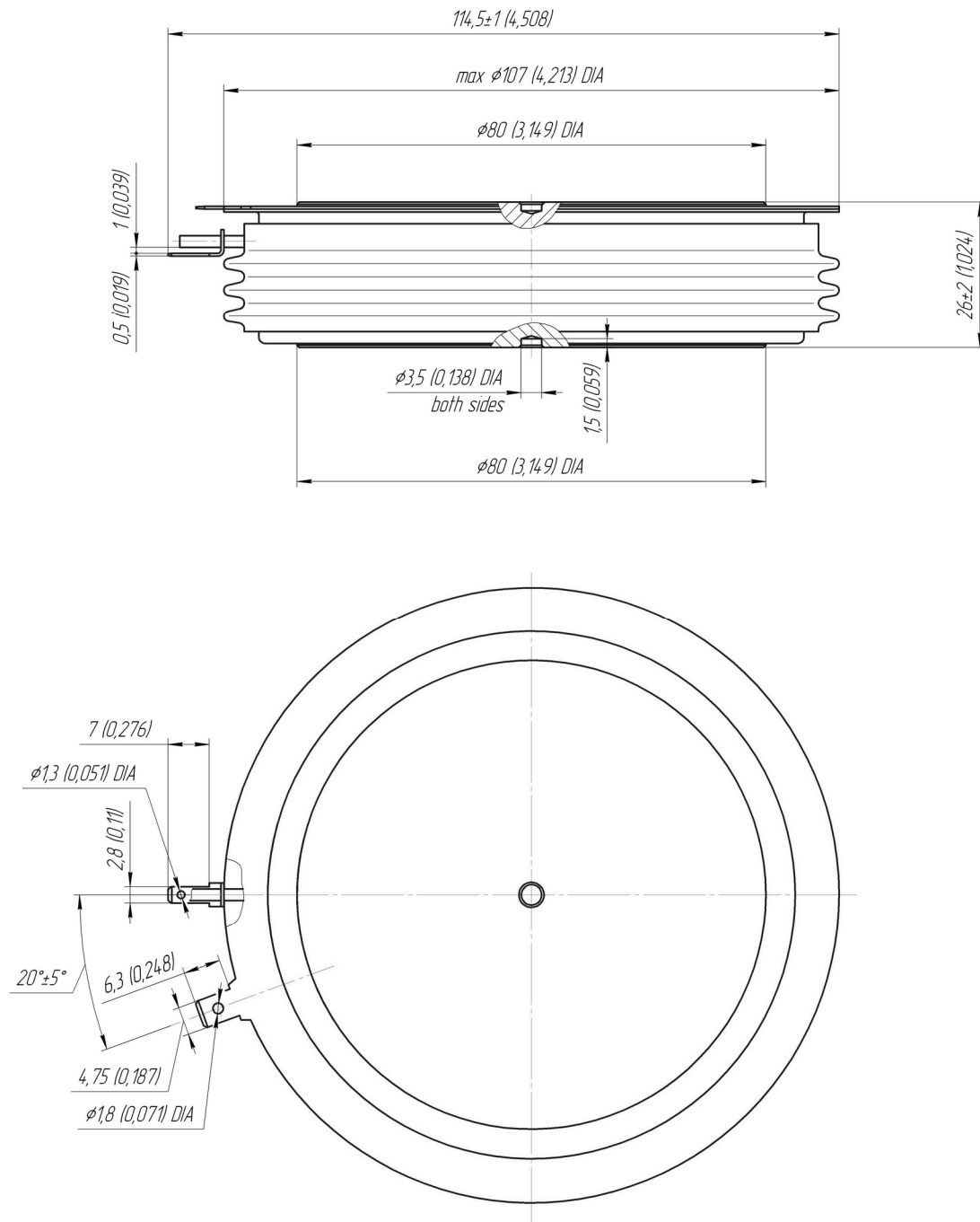
Обозначение группы	H3	E3	C3
$t_q, \text{мкс}$	40.0	50.0	63.0

МАРКИРОВКА

ТБИ	773	2000	25	A2	H3	УХЛ2
-----	-----	------	----	----	----	------

1	2	3	4	5	6	7
---	---	---	---	---	---	---

1. Быстродействующий импульсный тиристор
2. Конструктивное исполнение
3. Средний ток в открытом состоянии, А
4. Класс по напряжению
5. Критическая скорость нарастания напряжения в закрытом состоянии
6. Группа по времени выключения ($dv_D/dt = 50 \text{ В}/\text{мкс}$)
7. Климатическое исполнение по ГОСТ 15150: УХЛ2, Т



Все размеры в миллиметрах (дюймах)

Содержащаяся здесь информация является конфиденциальной и находится под защитой авторских прав.
В интересах улучшения качества продукции, ЗАО «Протон-Электротекс» оставляет за собой право изменять информационные листы без
уведомления.

On-state characteristic model (see Fig. 1).

Analytical function for On-state characteristic:

$$V_T = A + B \cdot i_T + C \cdot \ln(i_T + 1) + D \cdot \sqrt{i_T}$$

	Coefficients	
	$T_j = 25^\circ\text{C}$	$T_j = T_{j,\max}$
A	1.575132	1.137632
B	0.003894	0.071777
C	-0.227639	-0.304027
D	0.361006	0.482148

Transient thermal impedance junction to case Z_{thjc} model (see Fig. 2).

Analytical function for Transient thermal impedance junction to case Z_{thjc} for DC:

$$Z_{thjc} = \sum_{i=1}^n R_i \left(1 - e^{-\frac{t}{\tau_i}} \right)$$

Where $i = 1$ to n , n is the number of terms in the series.

t = Duration of heating pulse in seconds.

Z_{thjc} = Thermal resistance at time t .

R_i = Amplitude of p_{th} term.

τ_i = Time constant of r_{th} term.

DC Double side cooled

i	1	2	3	4	5	6
R_i , K/W	0.00005221	0.002783	0.0002688	0.001171	0.0002371	0.003988
τ_i , s	1.920	0.06256	0.002215	0.120	0.0006005	0.9534

DC Anode side cooled

i	1	2	3	4	5	6
R_i , K/W	0.01013	0.004065	0.001093	0.002843	0.0002657	0.0002413
τ_i , s	9.747	1.057	0.1241	0.06353	0.002255	0.0006066

DC Cathode side cooled

i	1	2	3	4	5	6
R_i , K/W	0.00662	0.004037	0.000959	0.002999	0.0002632	0.0002447
τ_i , s	9.743	1.024	0.1336	0.06442	0.002287	0.0006116

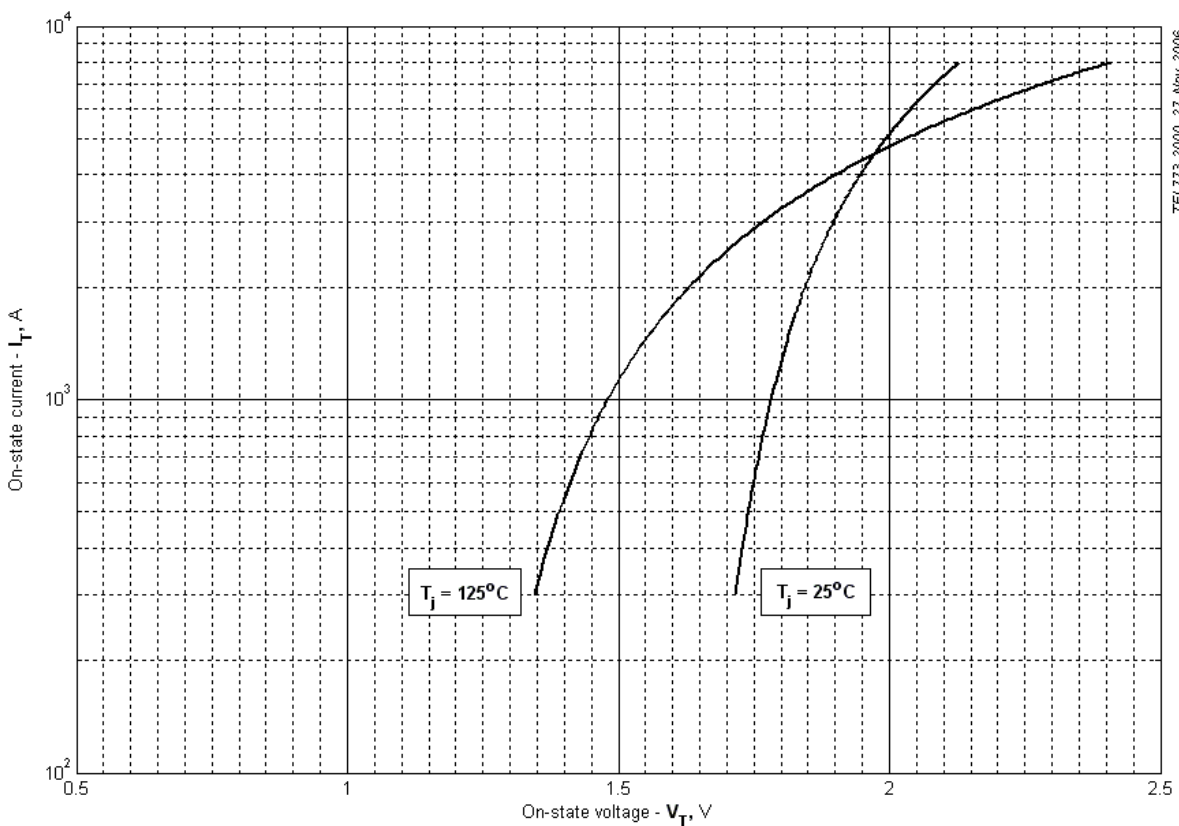


Fig 1 – On-state characteristics of Limit device

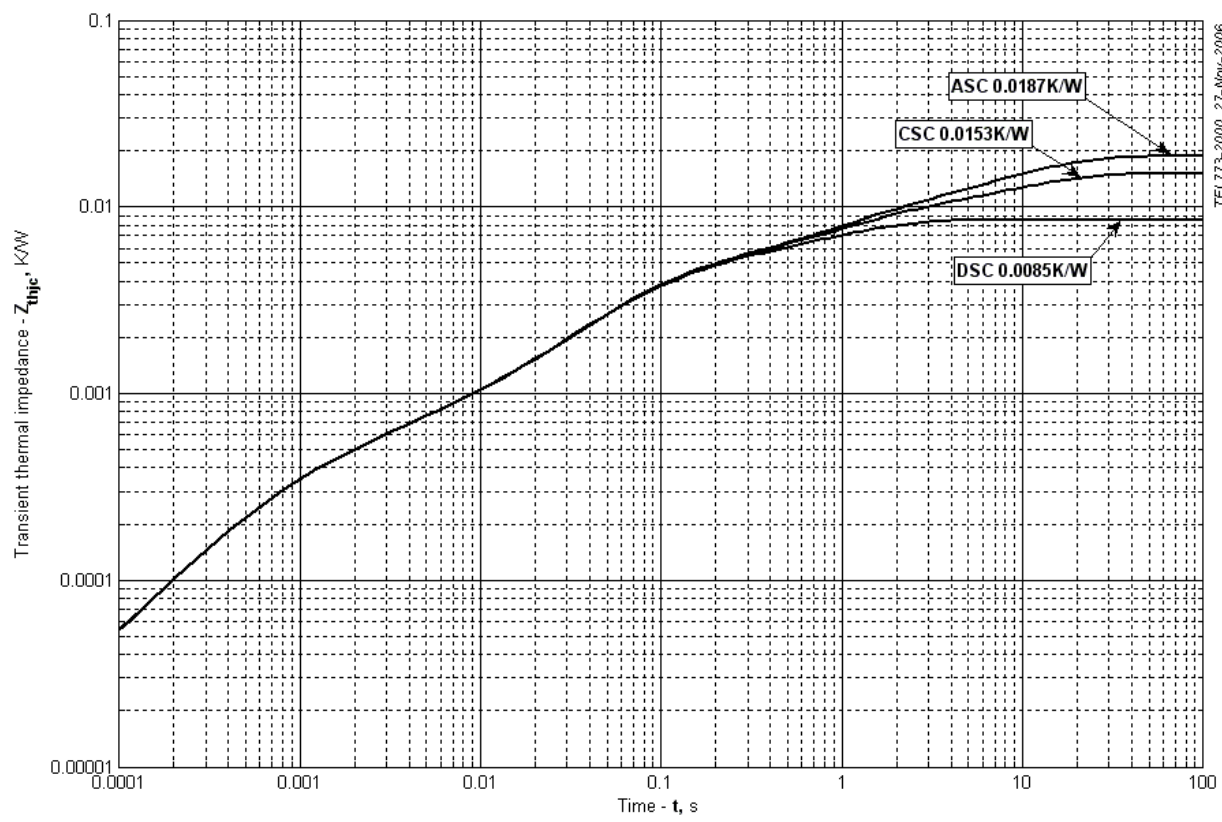


Fig 2 – Transient thermal impedance

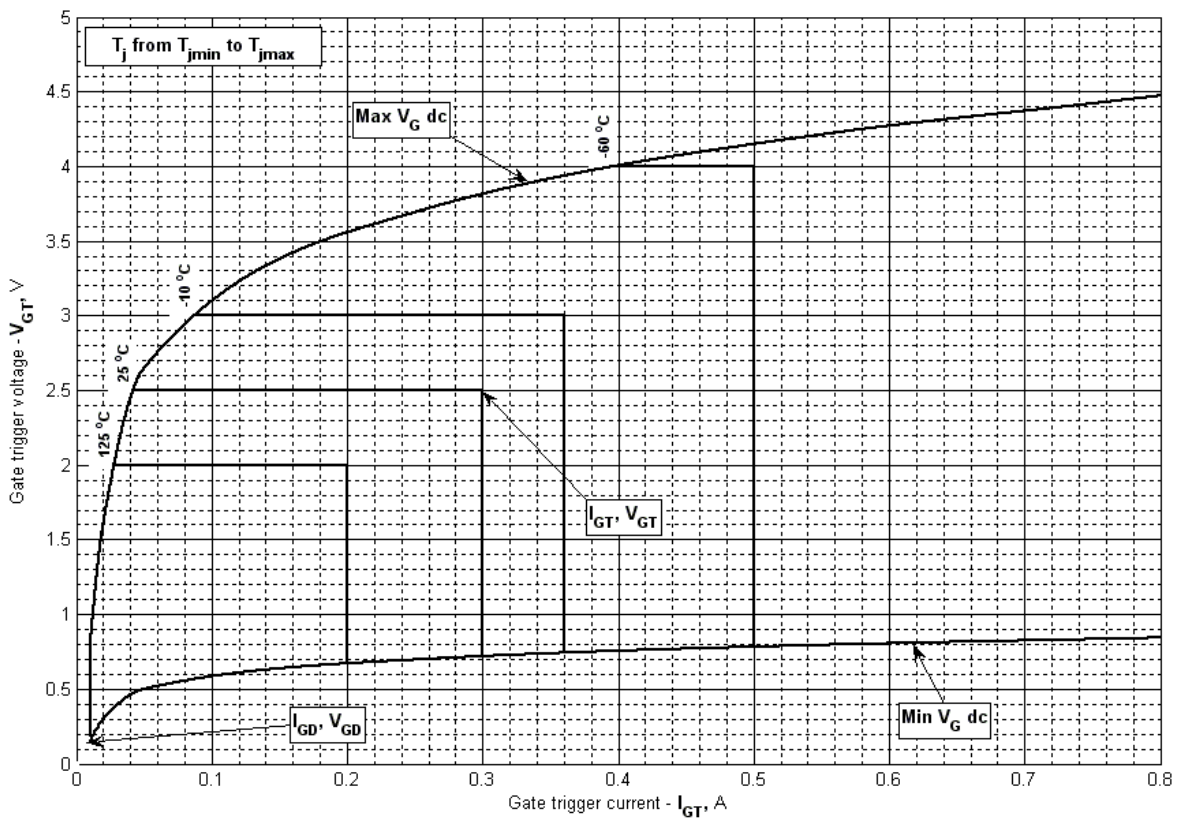


Fig 3 – Gate characteristics – Trigger limits

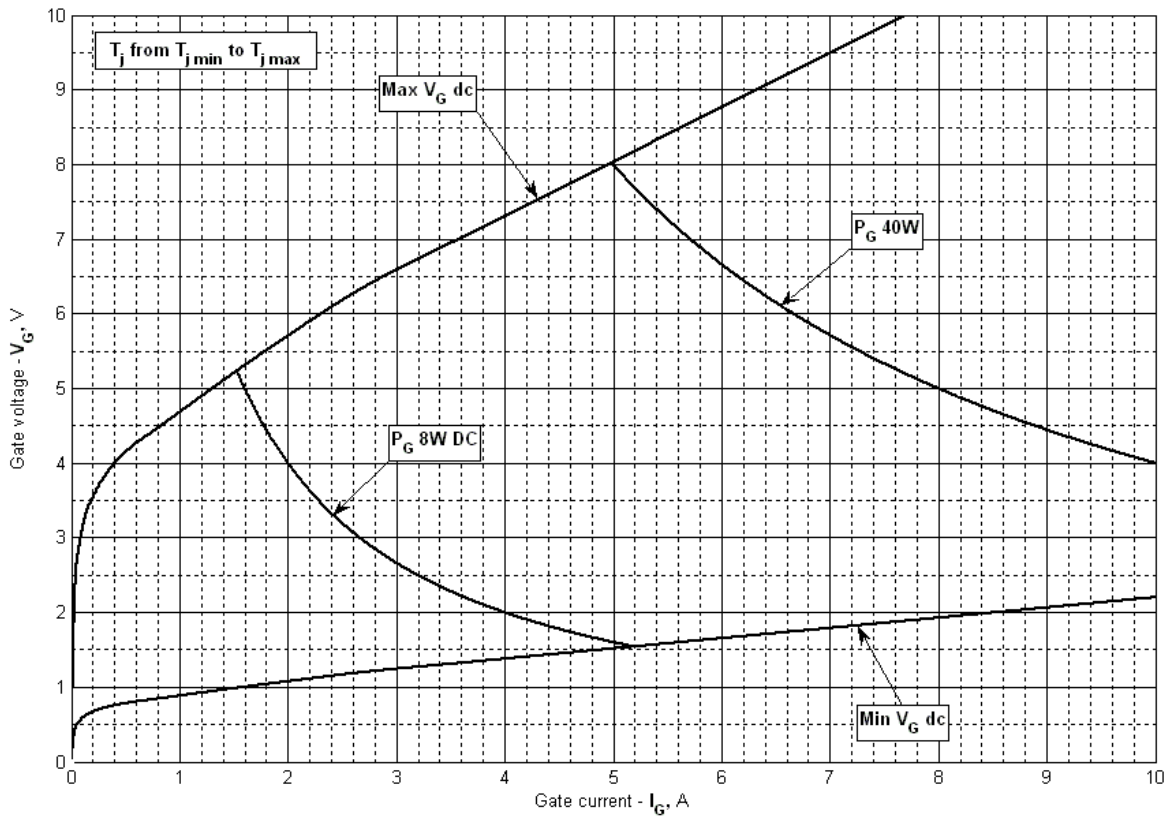


Fig 4 - Gate characteristics –Power curves

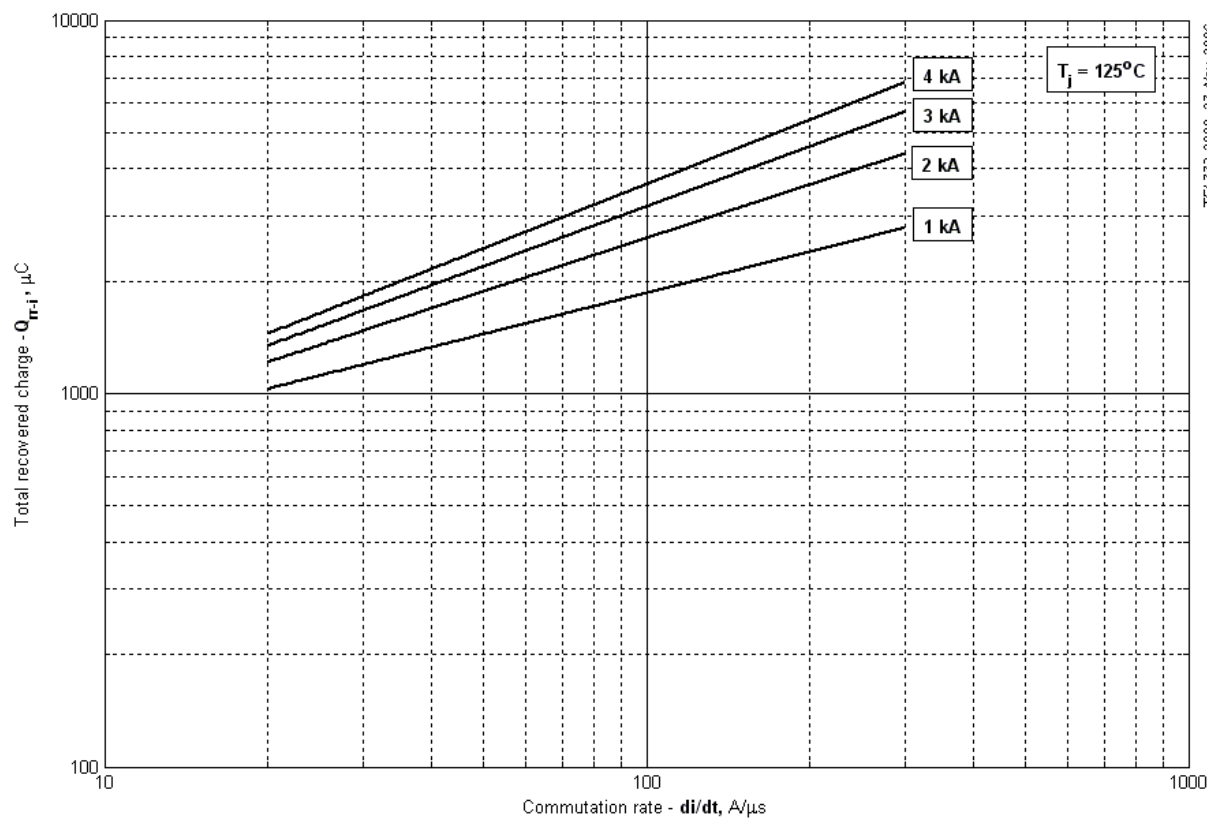


Fig 5 – Total recovered charge, $Q_{rr,i}$ (integral)

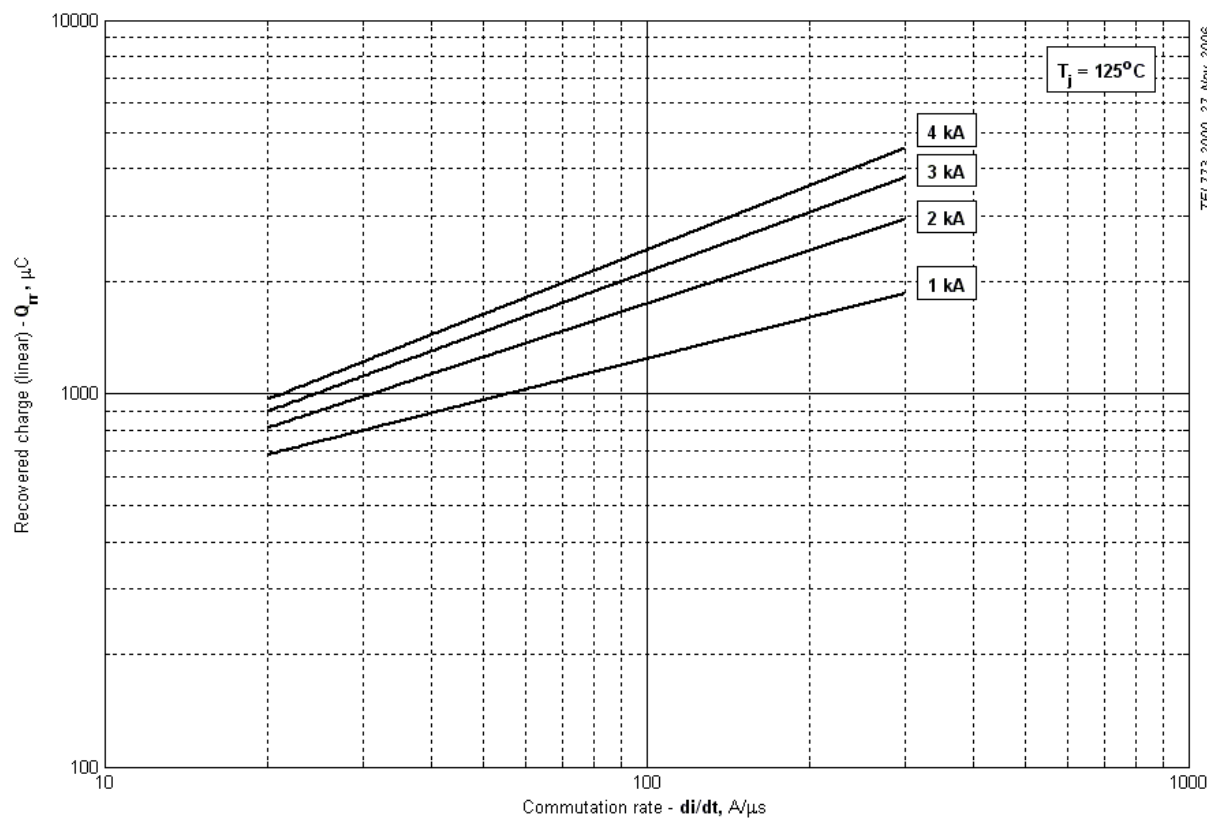


Fig 6 - Recovered charge, Q_{rr} (linear)

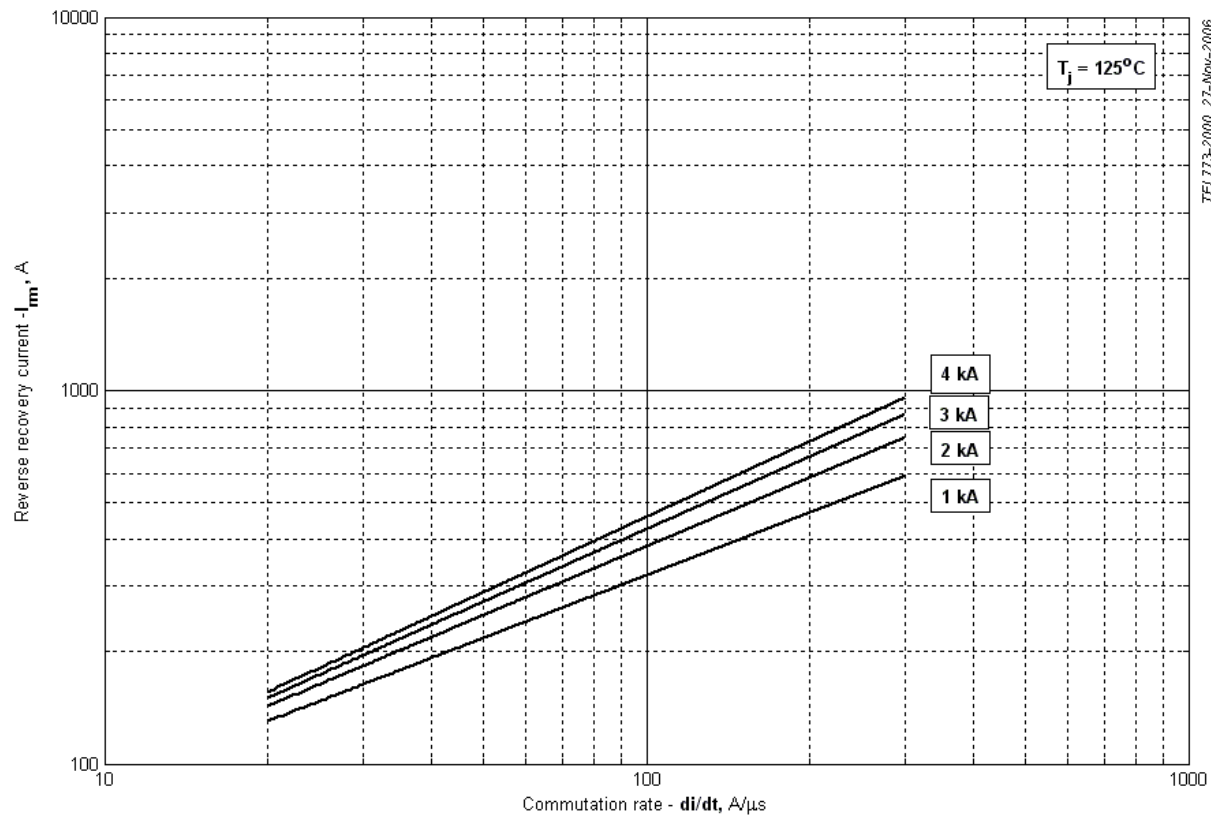


Fig 7 – Peak reverse recovery current, I_{rm}

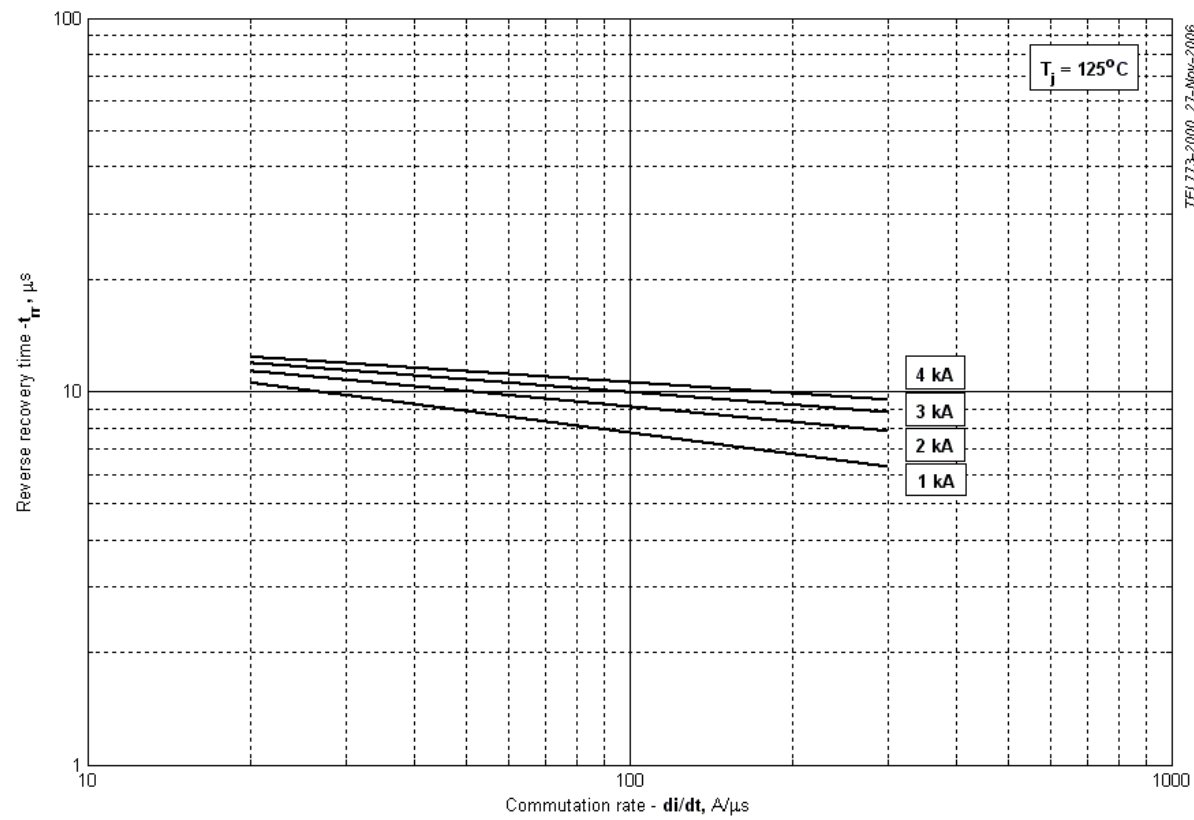


Fig 8 – Maximum recovery time, t_{rr} (linear)

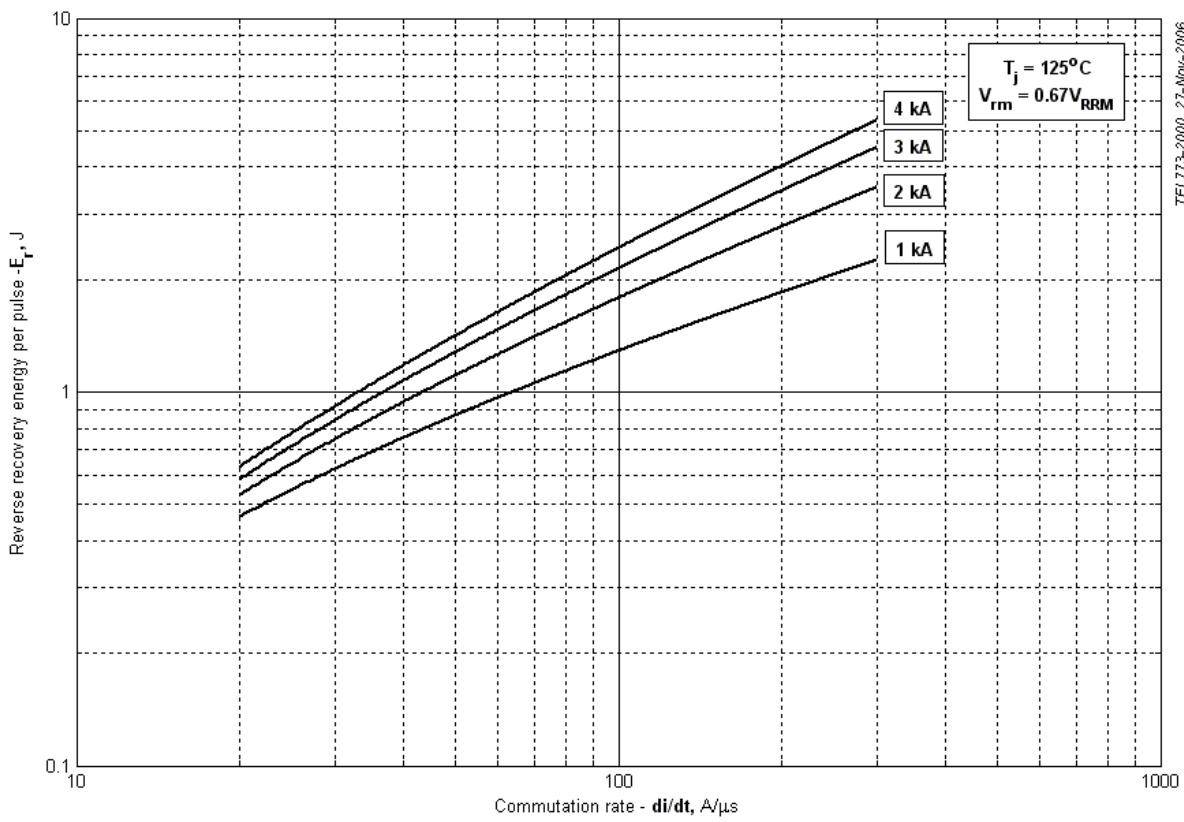


Fig 9 – Reverse recovery energy per pulse

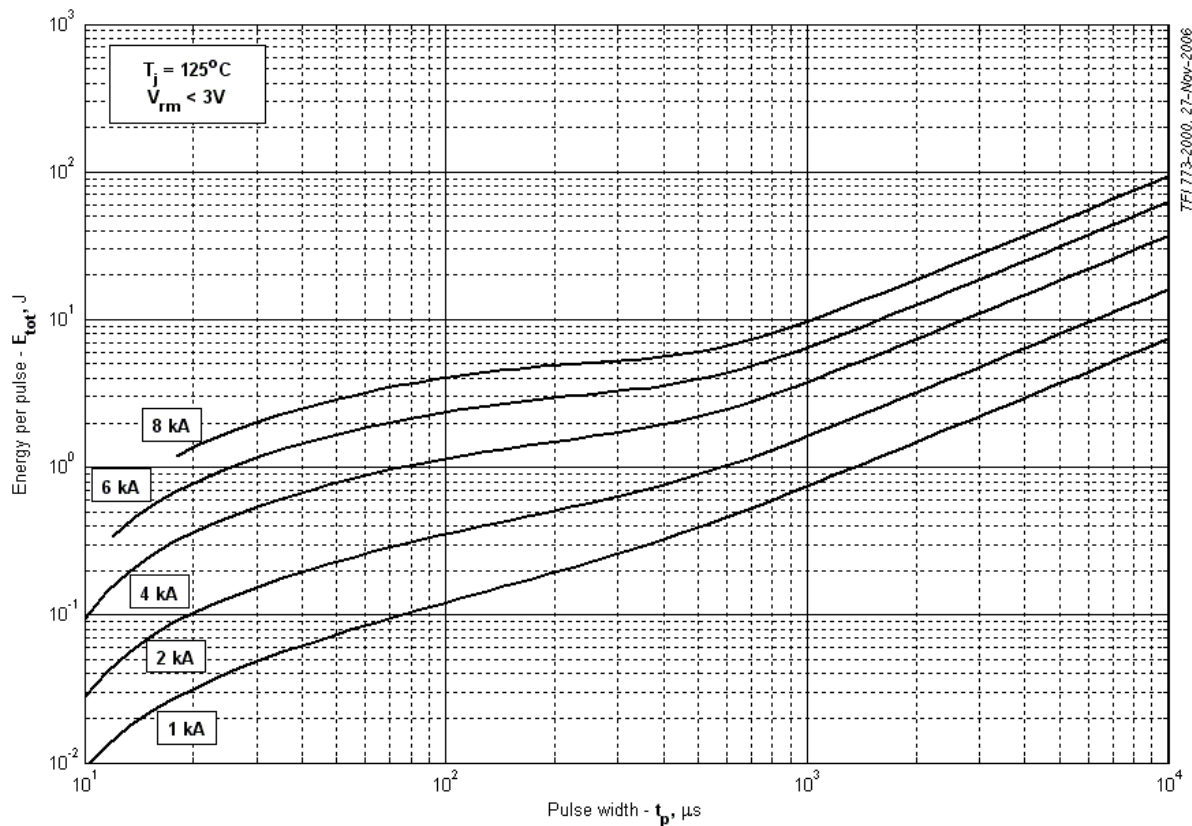


Fig 10 – Sine wave energy per pulse

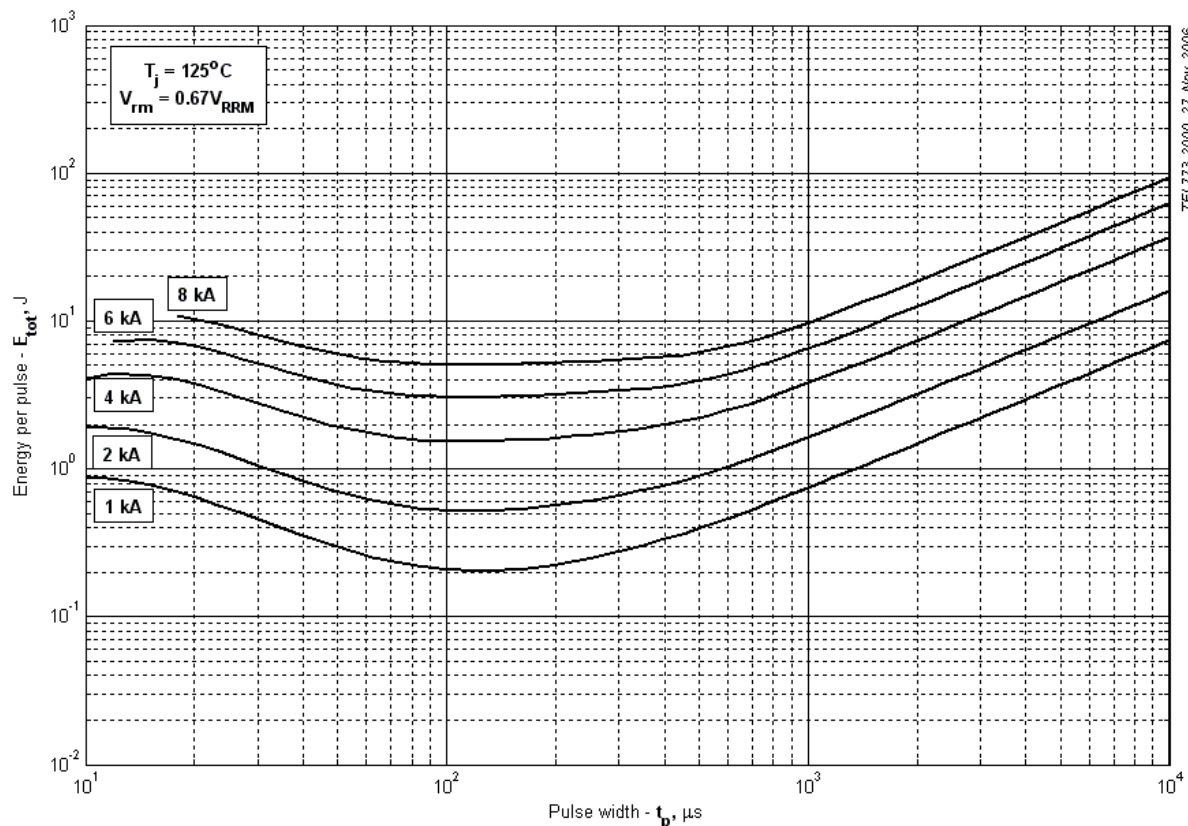


Fig 11 – Sine wave energy per pulse

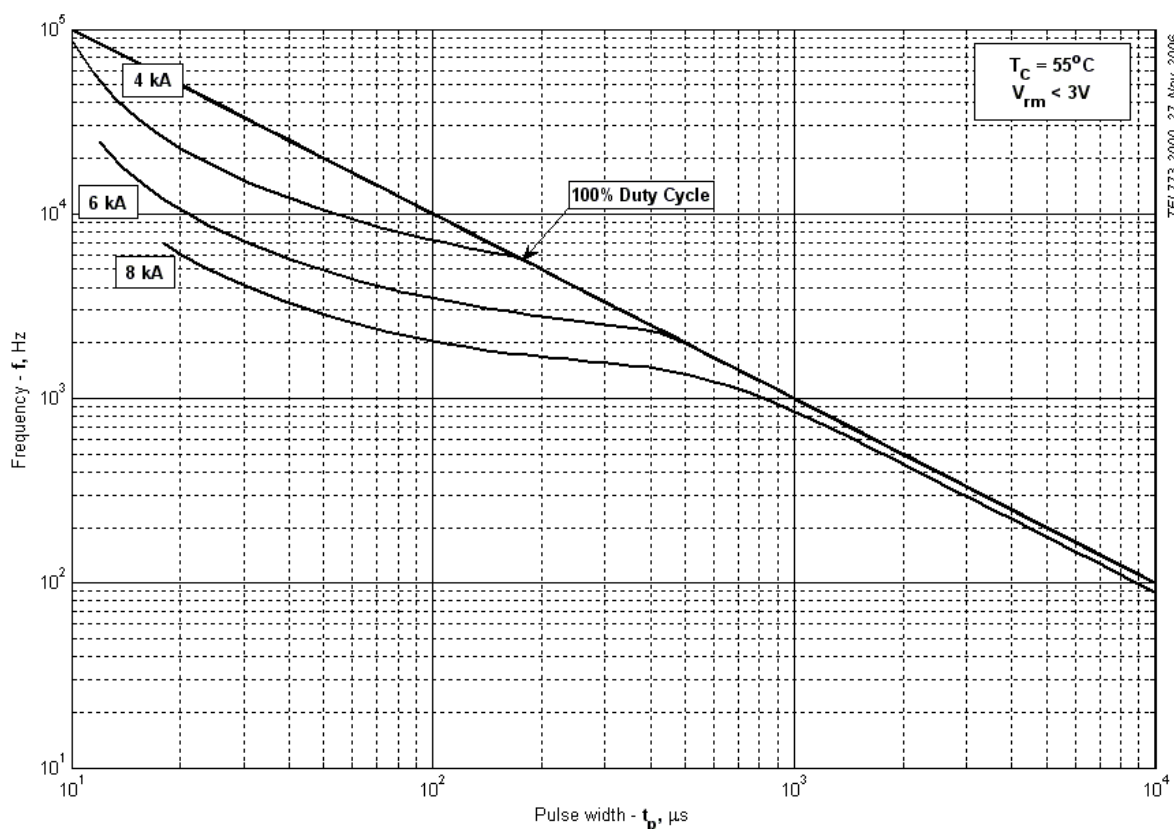


Fig 12 – Sine wave frequency ratings

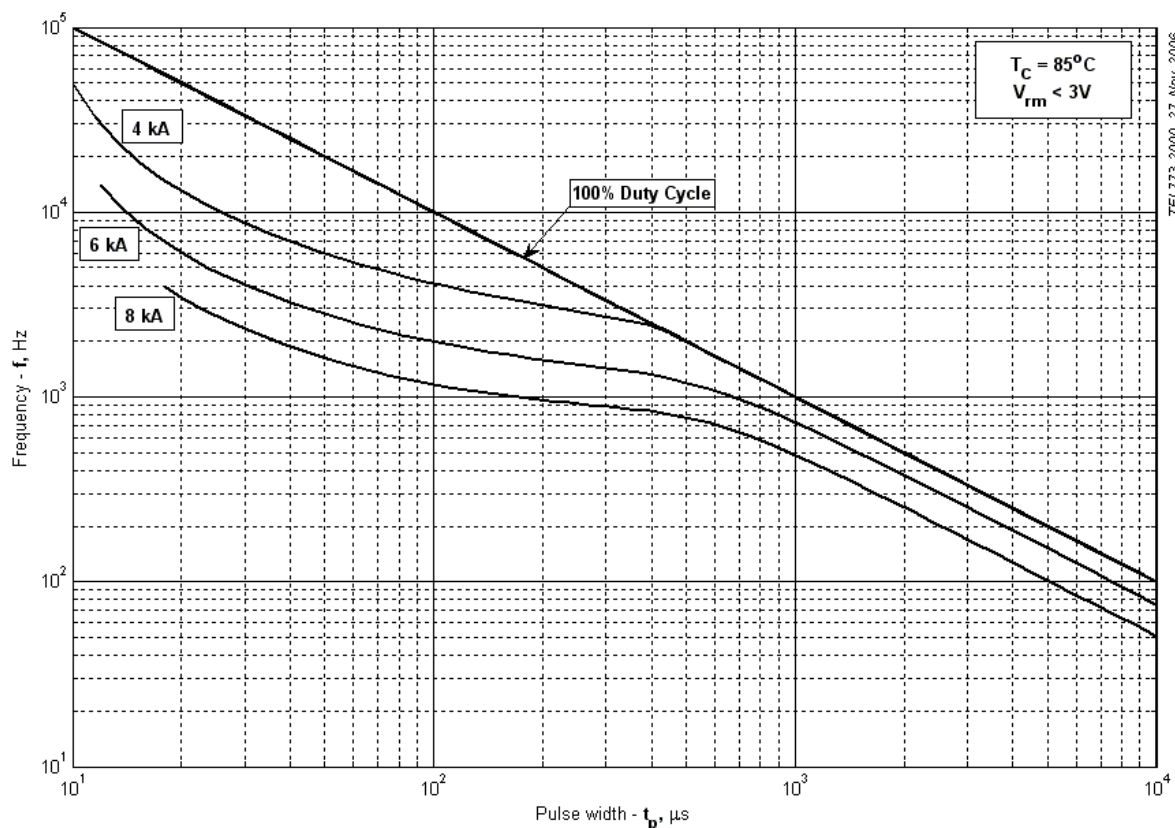


Fig 13 – Sine wave frequency ratings

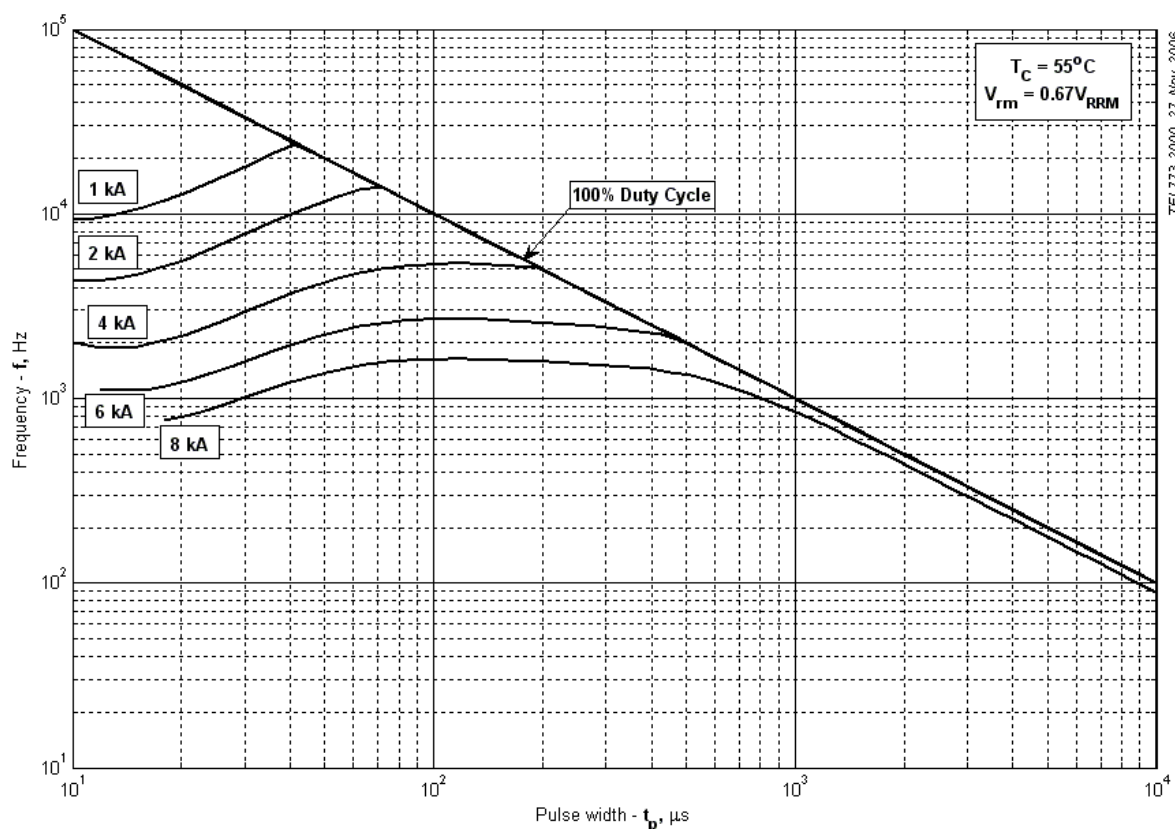


Fig 14 – Sine wave frequency ratings

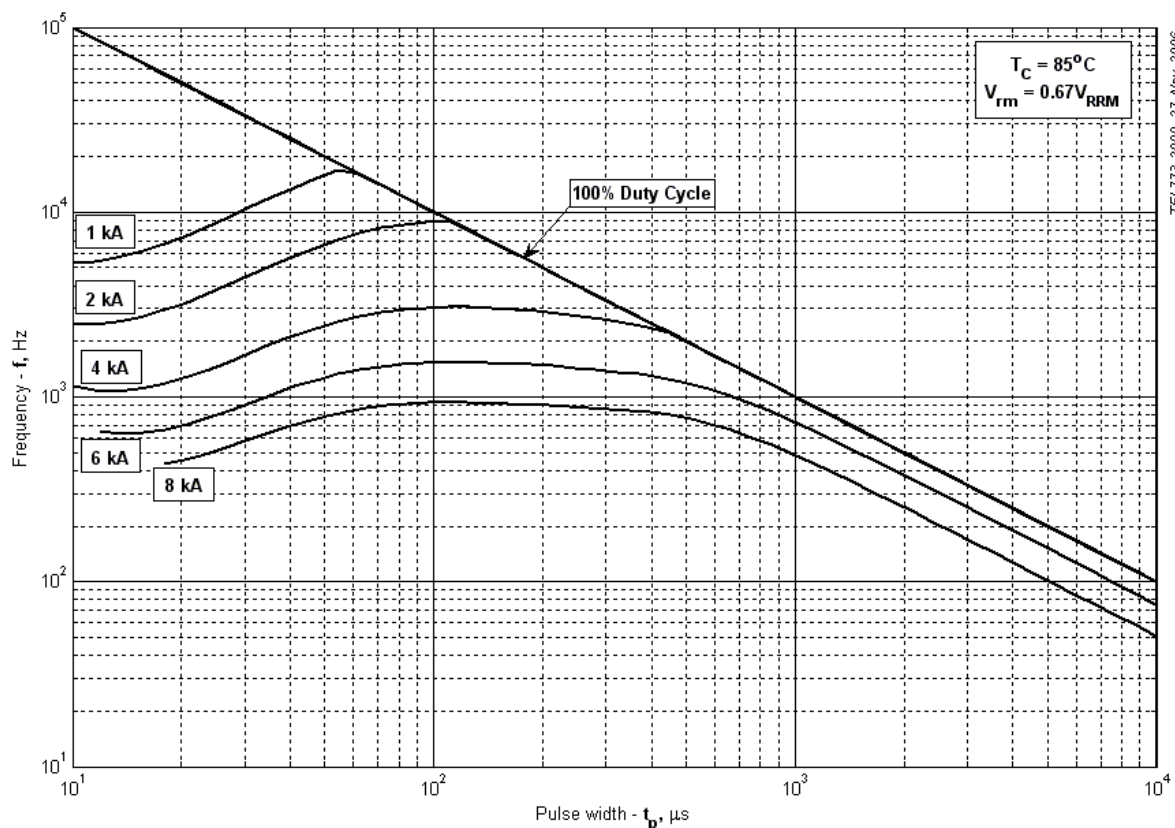


Fig 15 – Sine wave frequency ratings

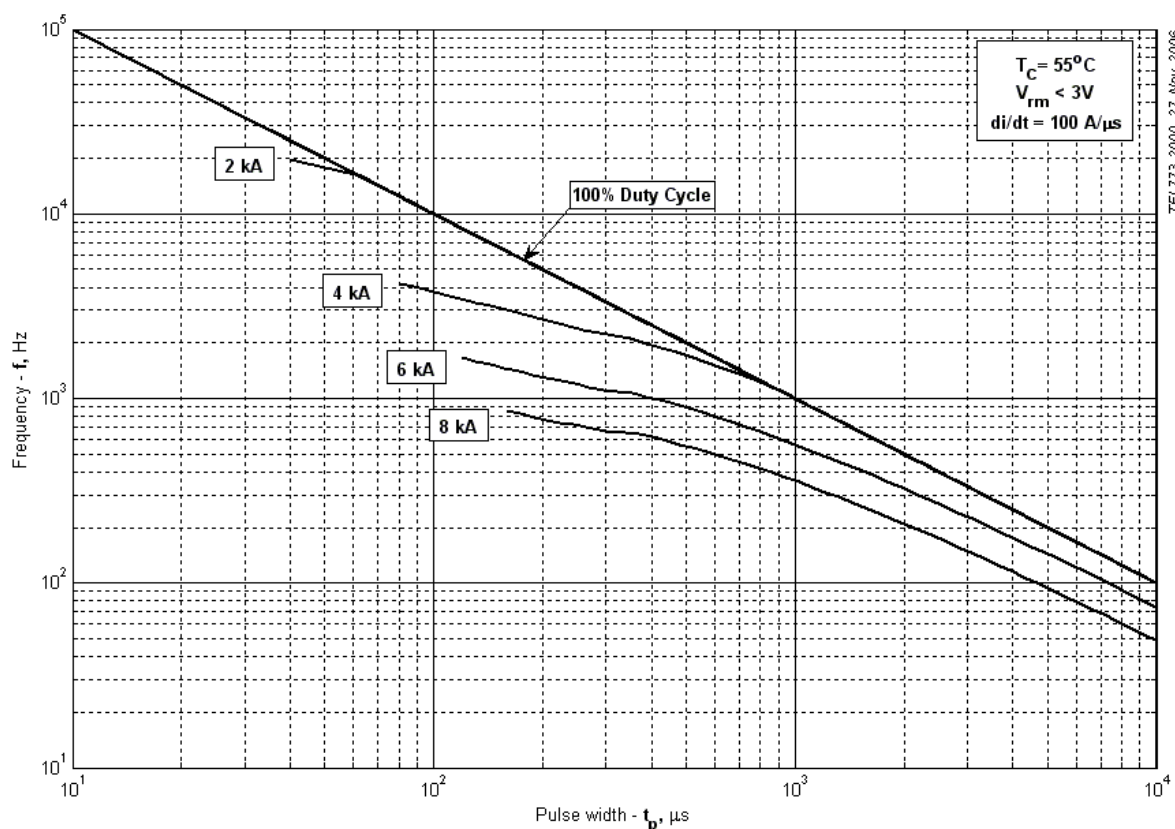
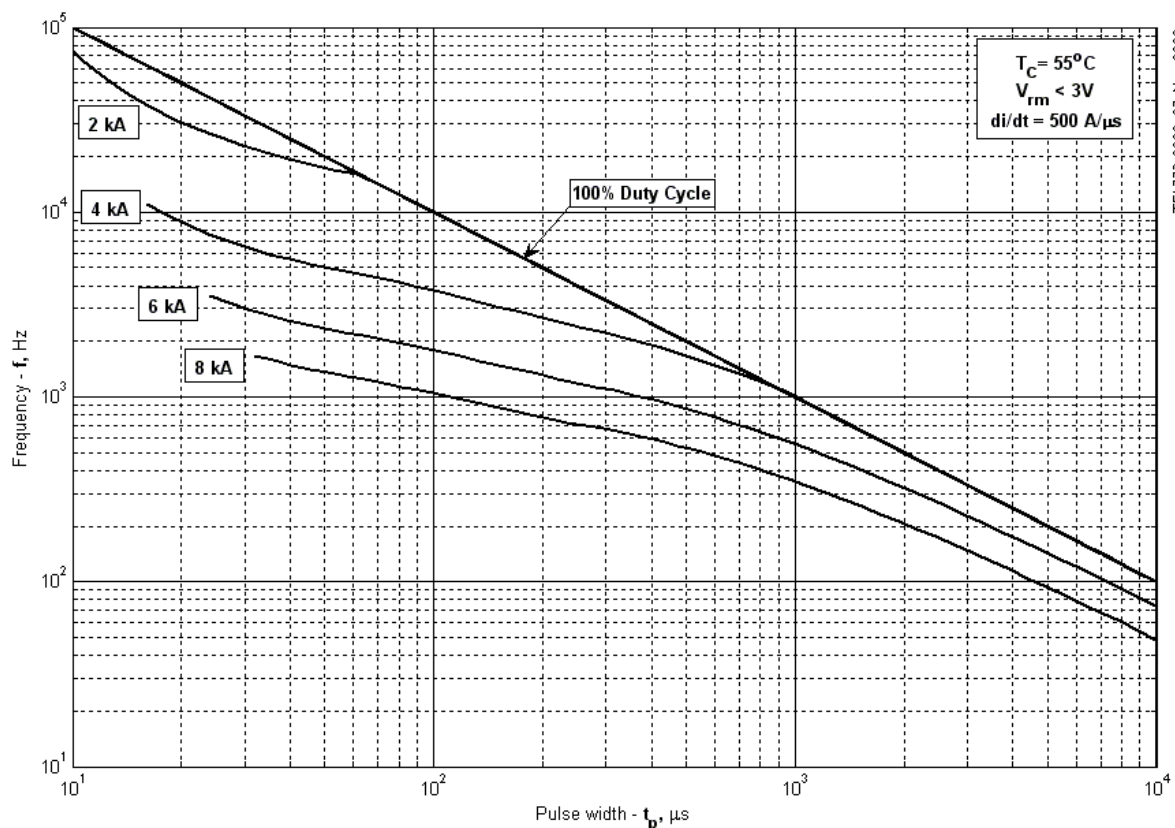
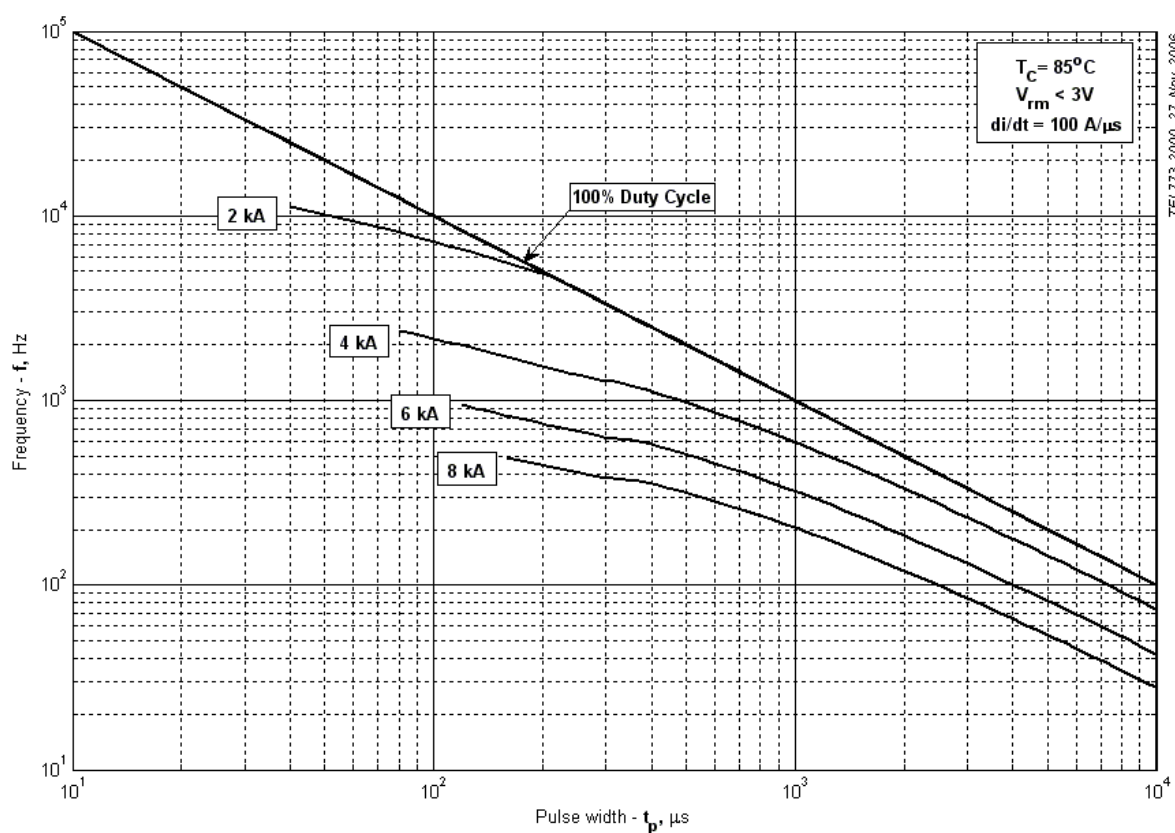


Fig 16 – Square wave frequency ratings



TFI773-2000, 27-Nov-2006

Fig 17 – Square wave frequency ratings



TFI773-2000, 27-Nov-2006

Fig 18 – Square wave frequency ratings

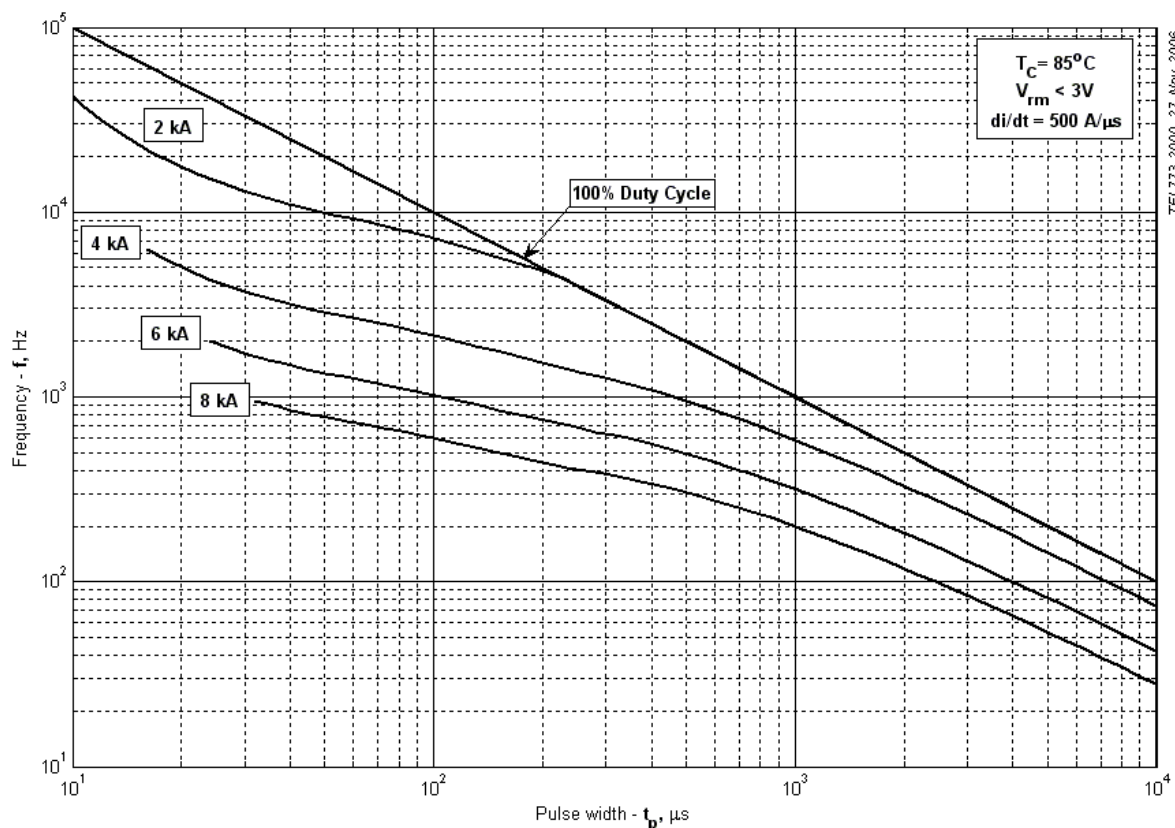


Fig 19 – Square wave frequency ratings

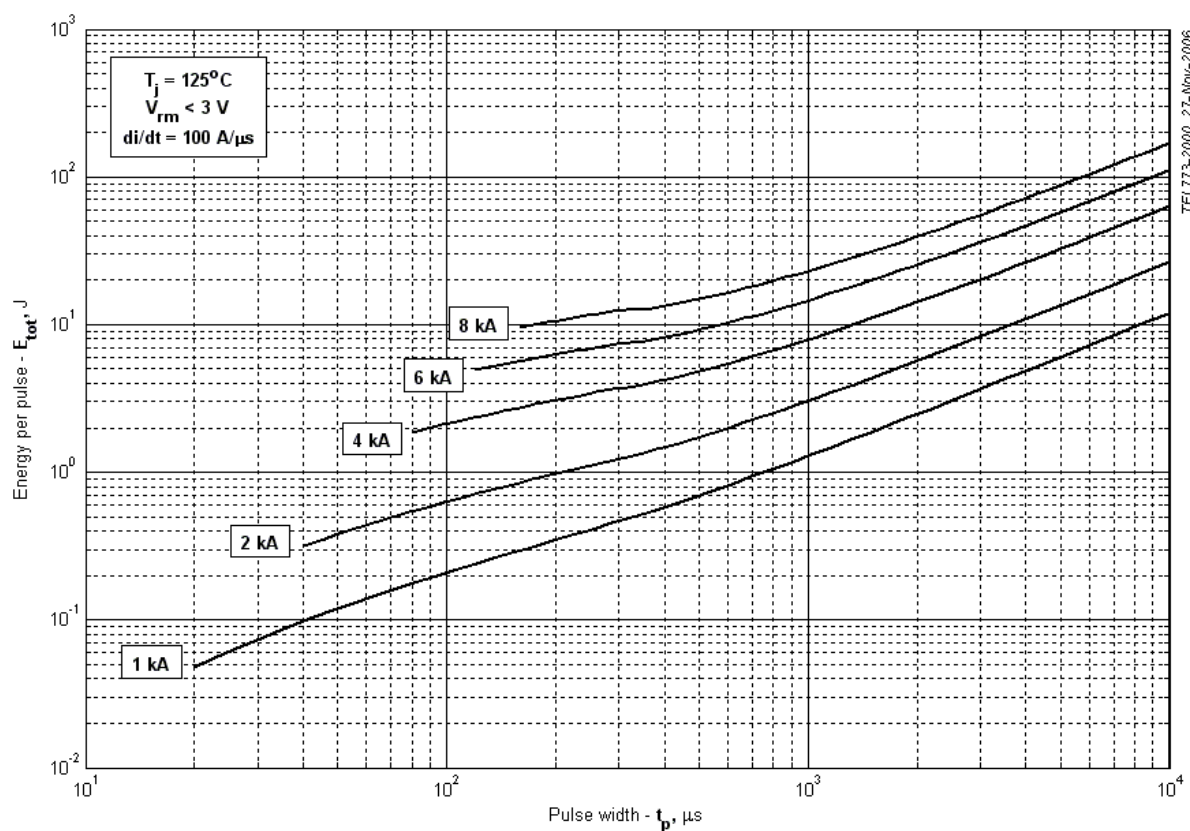


Fig 20 – Square wave energy per pulse

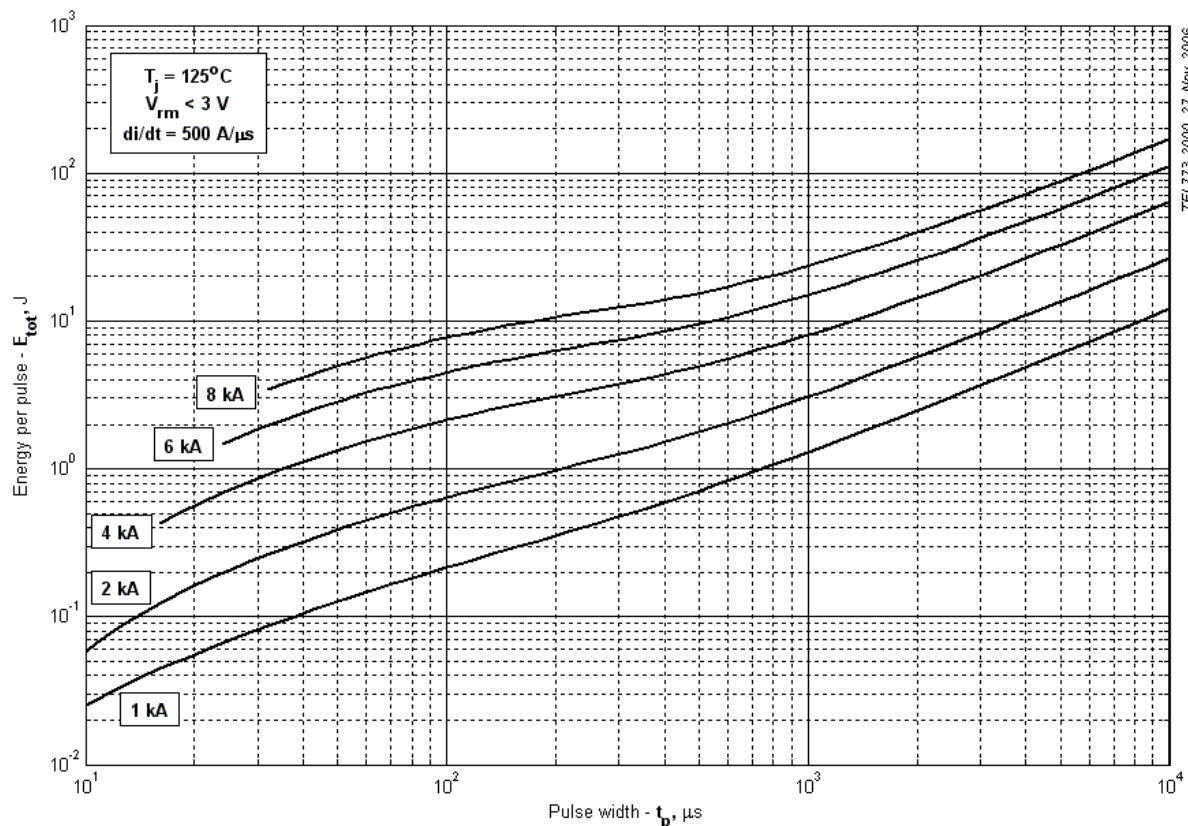


Fig 21 – Square wave energy per pulse

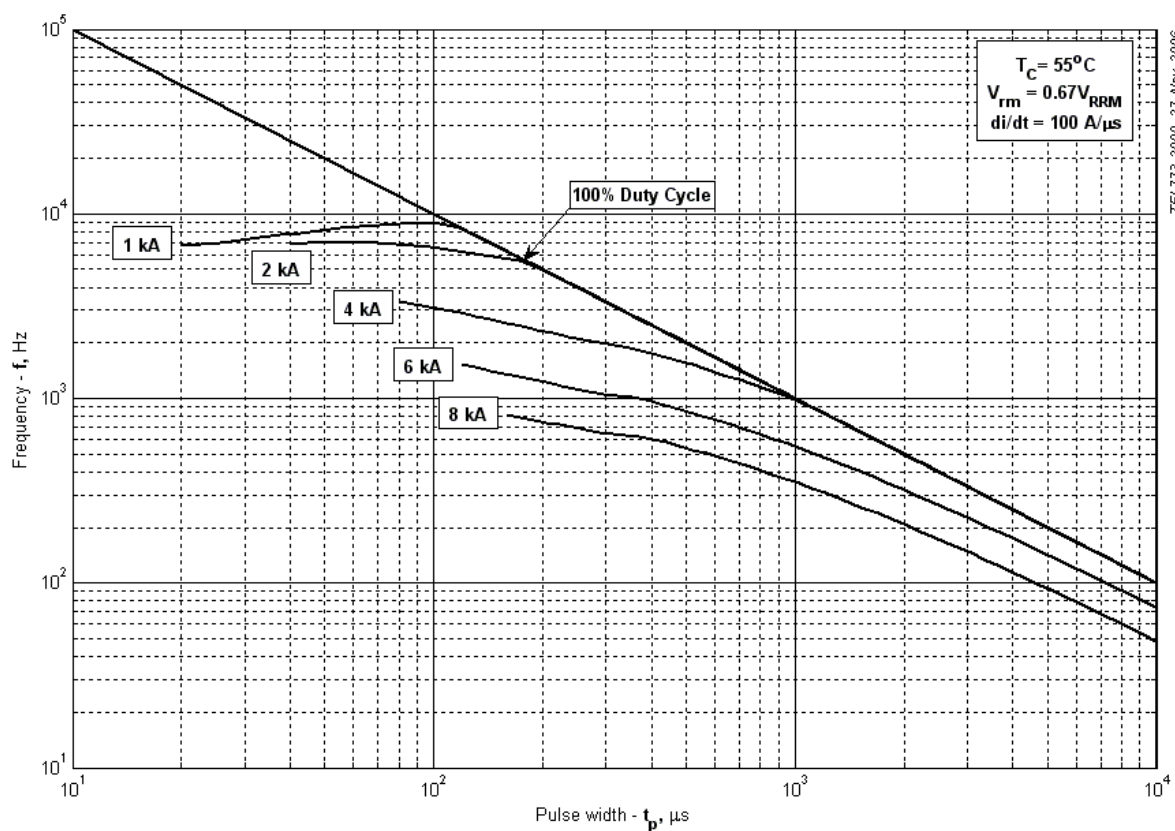


Fig 22 – Square wave frequency ratings

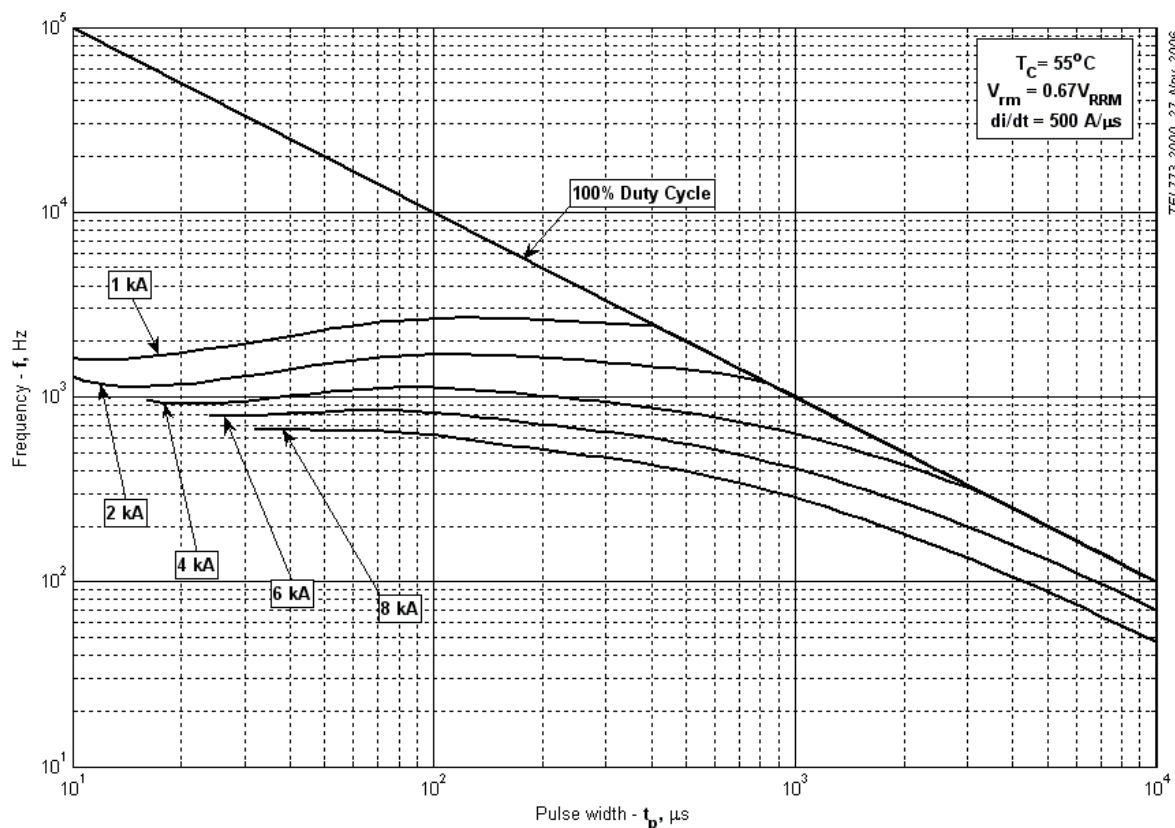


Fig 23 – Square wave frequency ratings

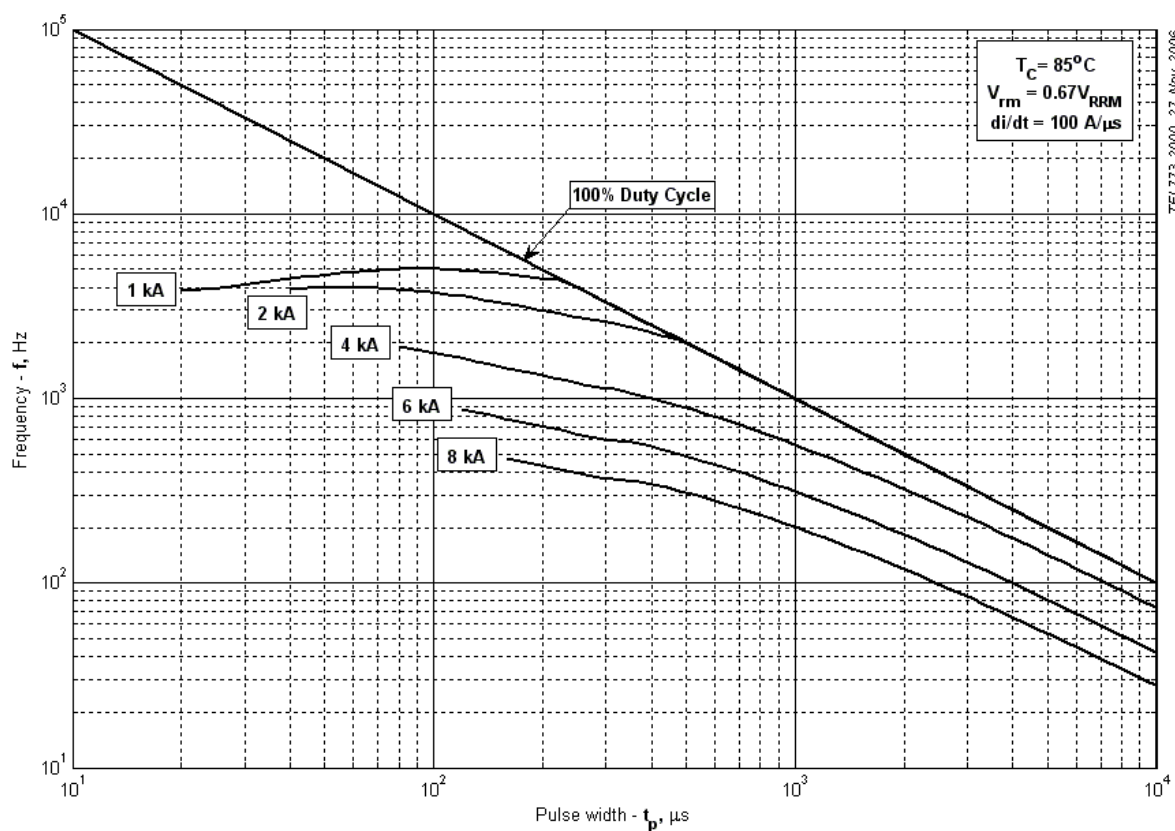


Fig 24 – Square wave frequency ratings

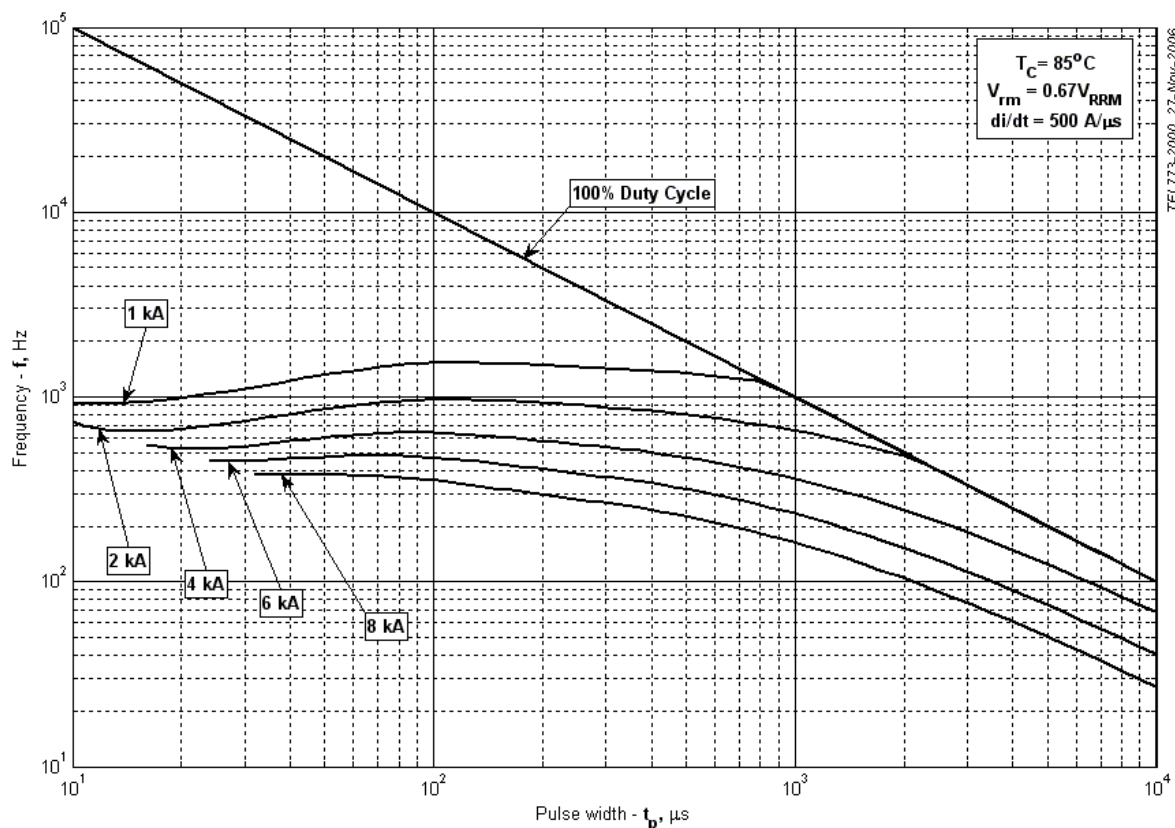


Fig 25 – Square wave frequency ratings

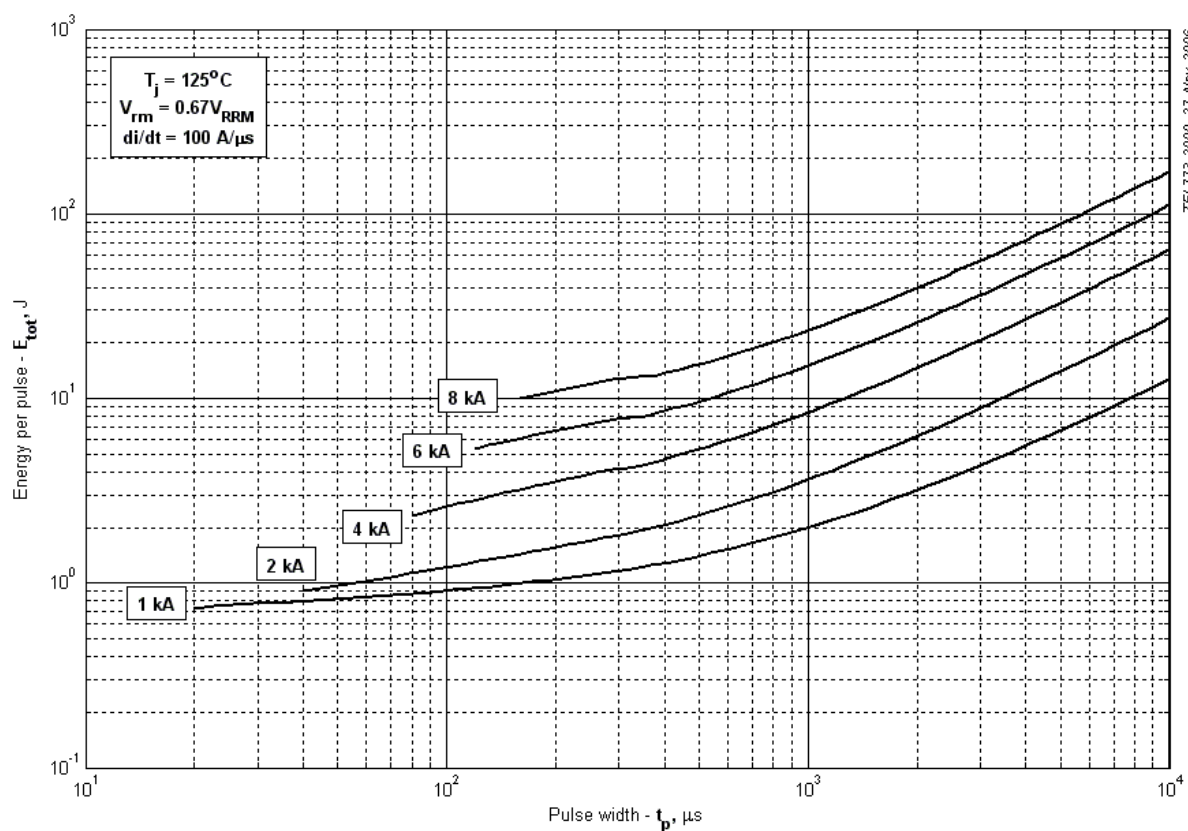


Fig 26 – Square wave energy per pulse

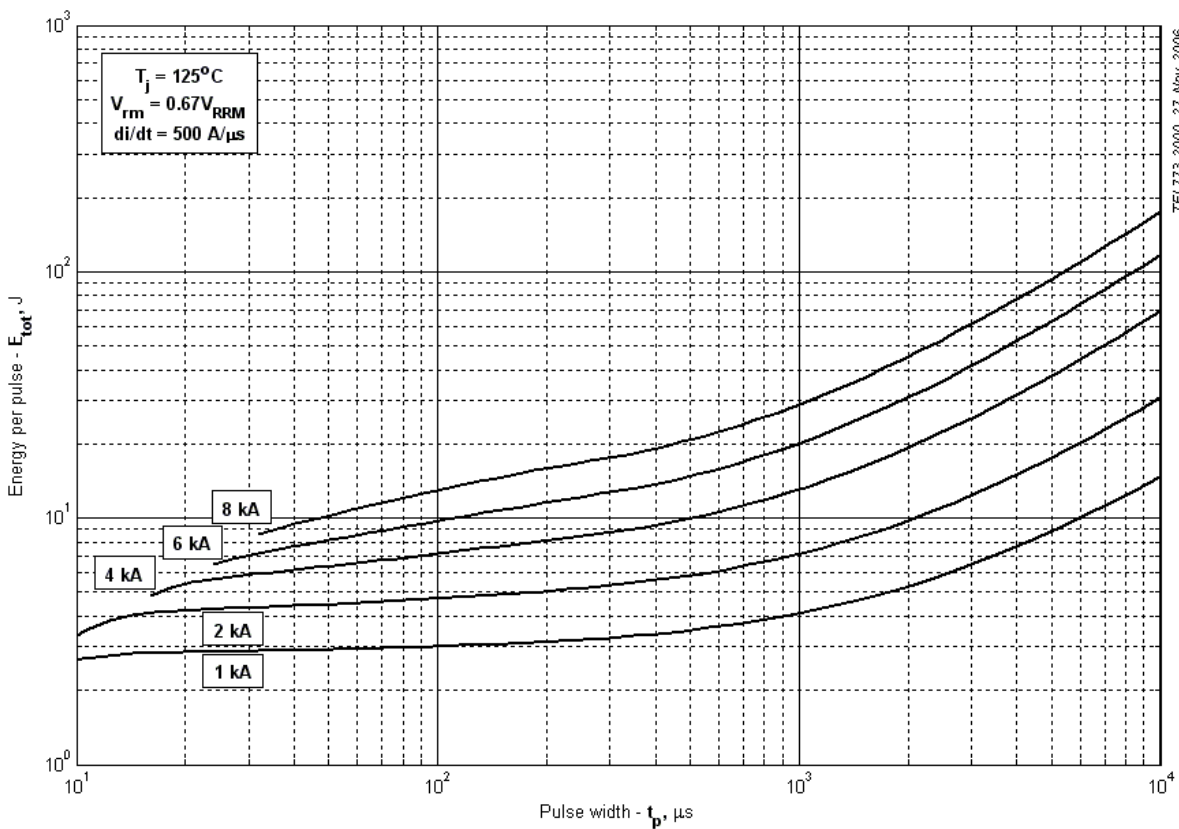


Fig 27 – Square wave energy per pulse

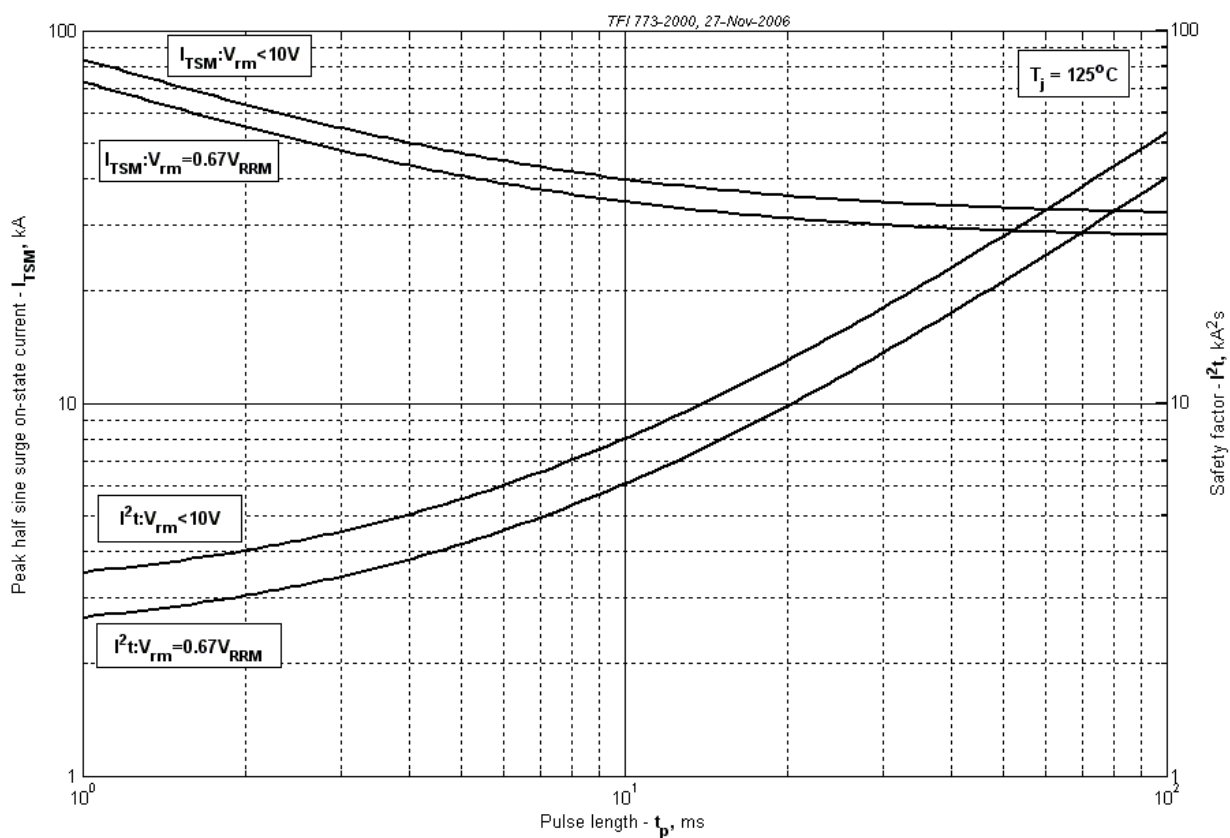


Fig 29 – Maximum surge and I^2t ratings

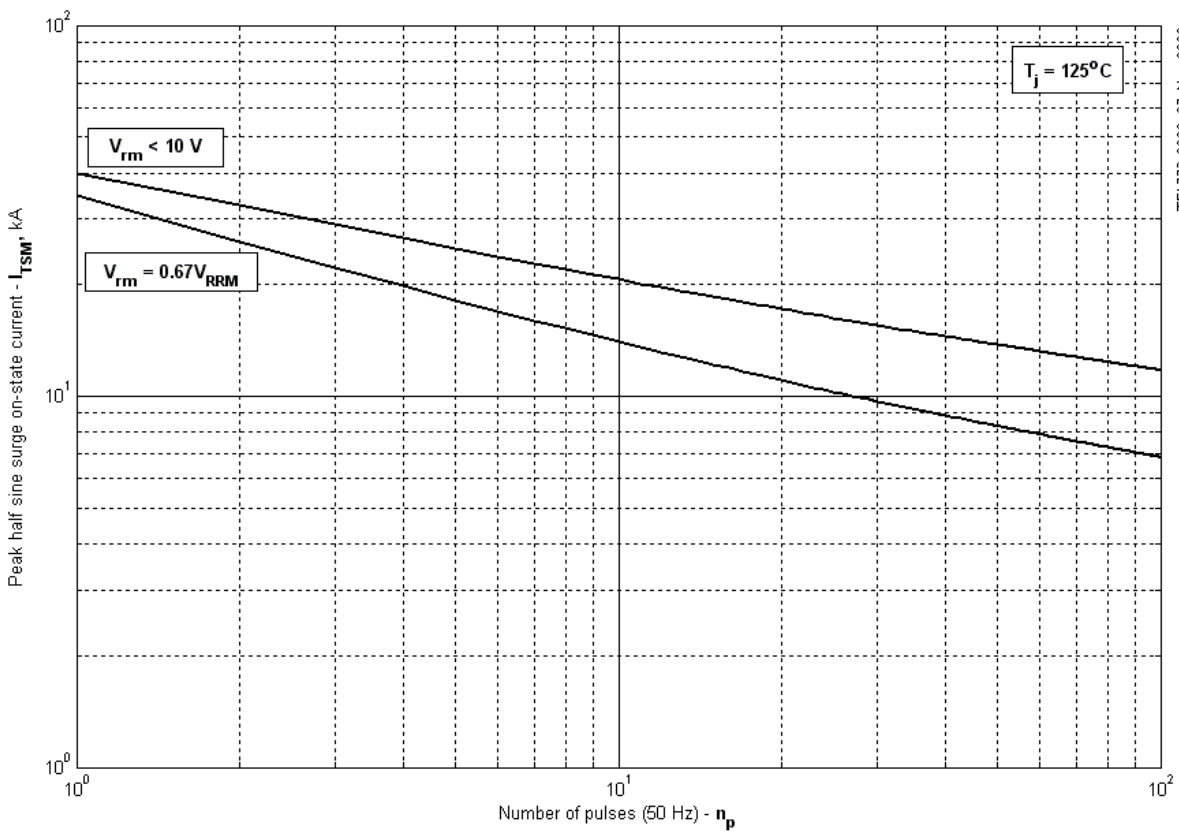


Fig 30 – Maximum surge ratings